

IMAGE A. Imagen natural-color simulada (SN) de la región del Salar de Coipasa, altiplano centro-occidental, Bolivia. El salar se encuentra mayormente cubierto con agua durante el tiempo en que tomada la imagen. El gran volcán terciario rodeado por el salar es el Cerro Villa Pucarani. El extenso campo de bloques a la izquierda es probablemente un resultado de la caída del flanco del volcán Tatio Sabaya. La escala aproximada es 1:250,000; imagen de Path 001/Row 073/Quad 4; norte hacia arriba.

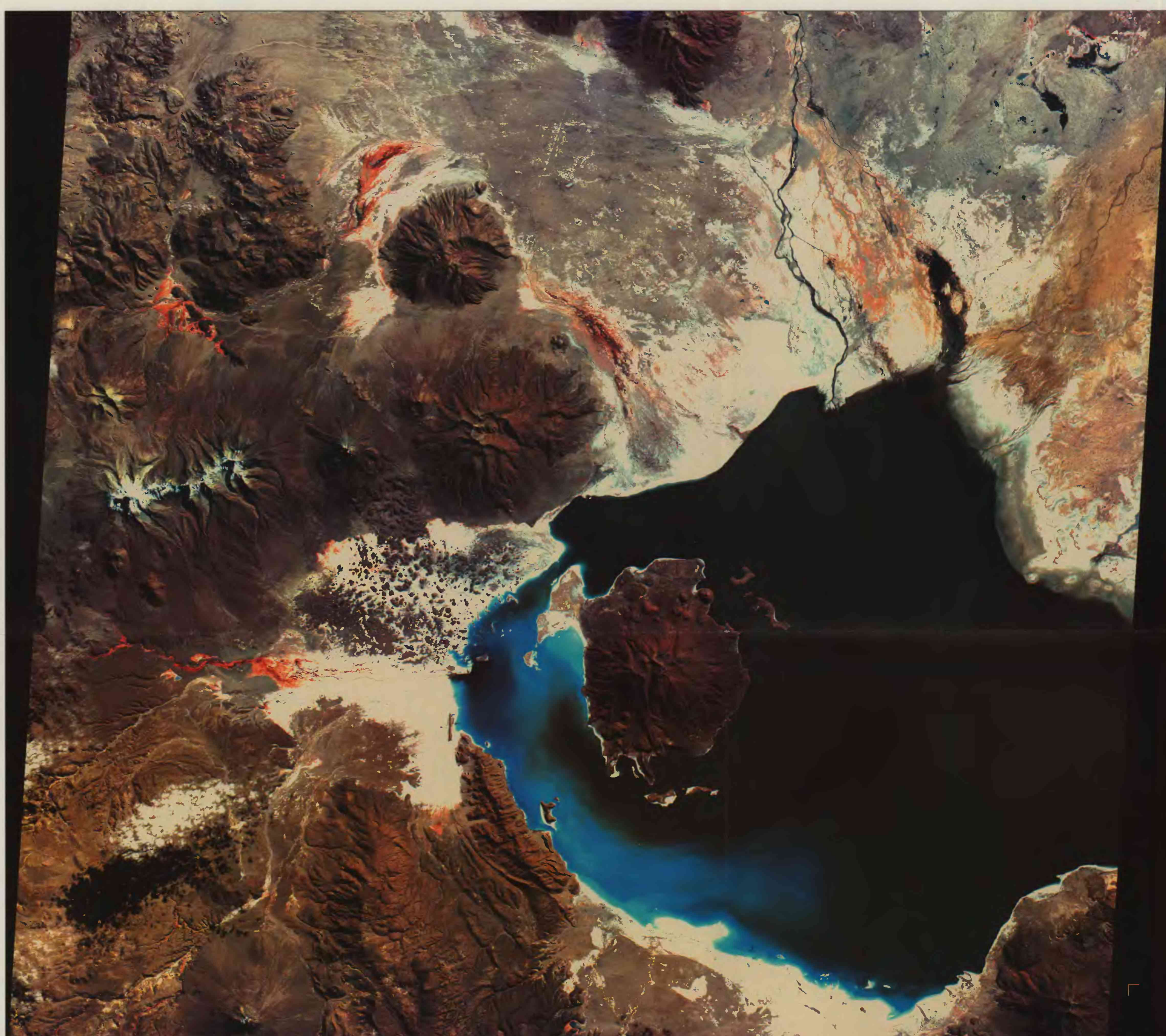


IMAGE B. Imagen infrarroja compuesta (CIR) de la región del Salar de Coipasa, altiplano centro-occidental, Bolivia. La vegetación, generalmente dispersa en la región, es visible en tonos de rojo y abundante más a lo largo de los cursos de drenaje. Tonos de azul se observan en aguas de roja y abundante más a lo largo de los cursos de drenaje. Tonos de azul a negro en el agua que cubre el salar indican las profundidades relativas del agua; el color oscuro es superficial, el oscuro es profundo. La escala aproximada es 1:250,000; imagen localizada en Path 001/Row 073/Quad 4; norte hacia arriba.

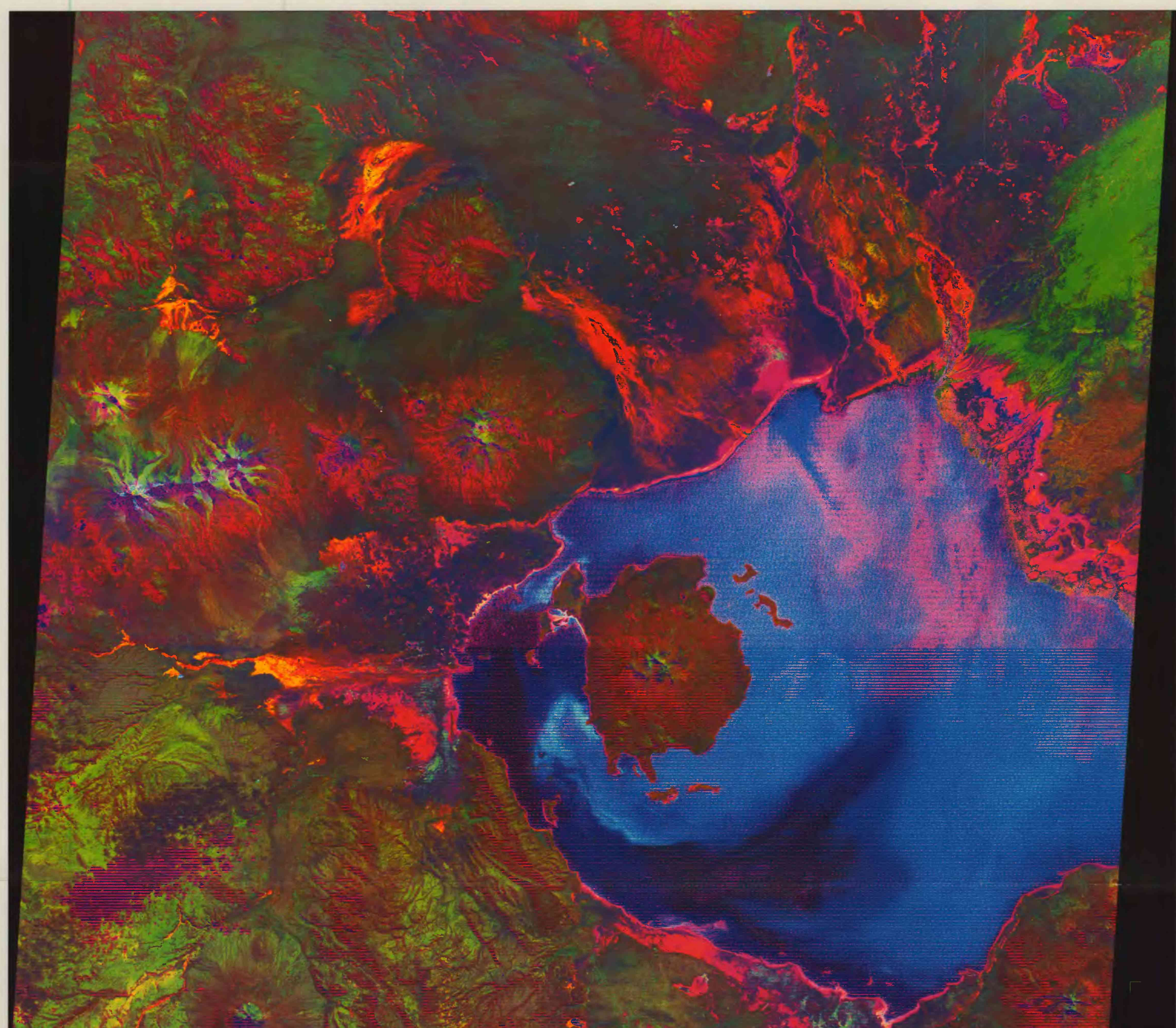


IMAGE C. Imagen color-relación compuesta (CRC) de la región del Salar de Coipasa, altiplano centro-occidental, Bolivia. El rayo horizontal en el tercio inferior de la imagen se hace más evidente en áreas extensas, relativamente homogéneas (el salar) y es resaltado por el procedimiento de ratioamiento. La ratioamiento elimina las nubes y las sombras de la imagen. La ratioamiento también reduce el efecto de las nubes y las sombras en las imágenes tomadas con rayos nulos. Los colores en la imagen son una función de la relación entre los rayos divididos y pueden ser generalmente referidos a la naturaleza de los materiales superficiales. Escala aproximada 1:250,000; imagen localizada en Path 001/Row 073/Quad 4; norte hacia arriba.

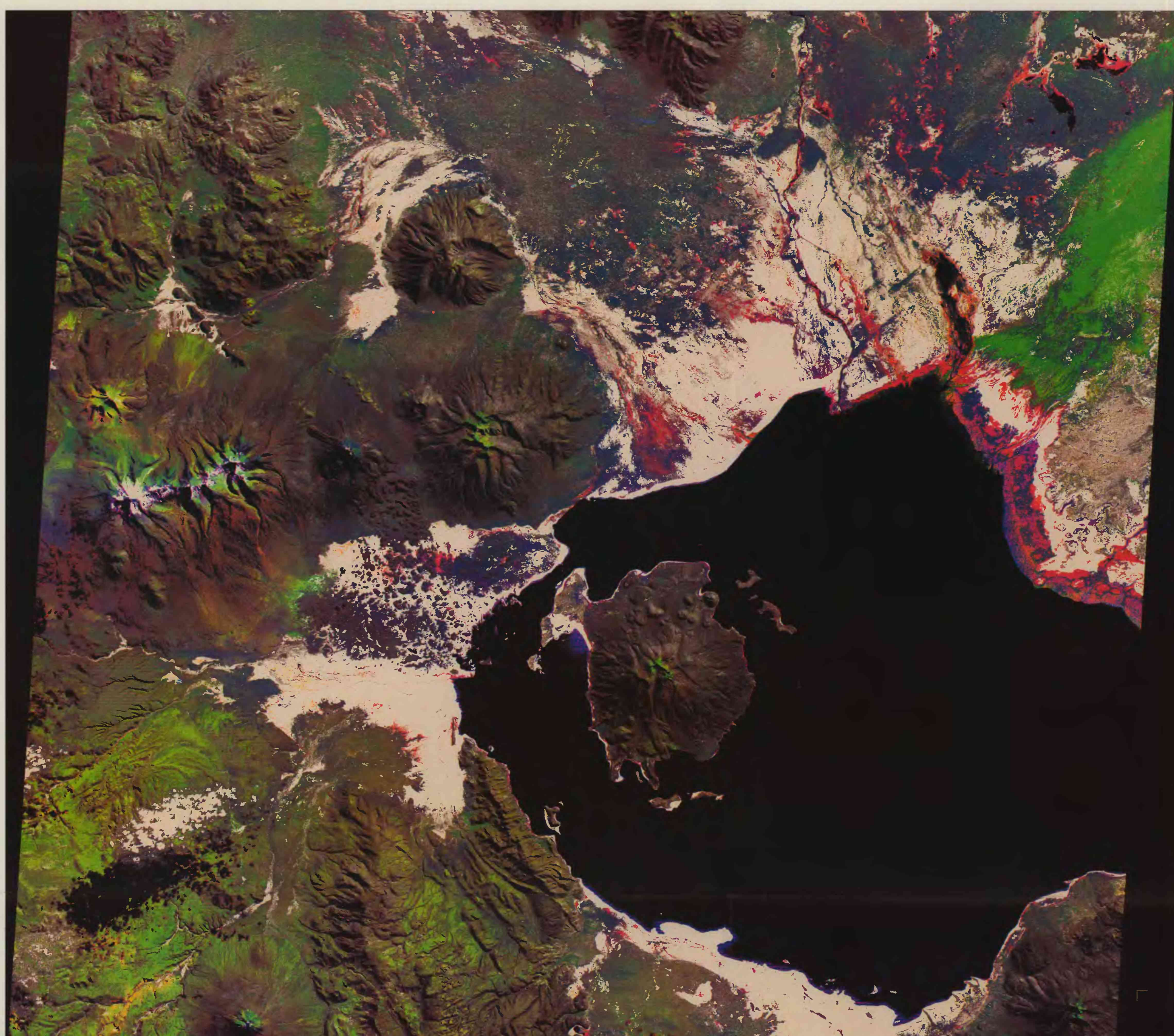


IMAGE D. Imagen color-relación compuesta enmascarada (MCRC) de la región del Salar de Coipasa, altiplano centro-occidental, Bolivia. La máscara consta de la imagen en escala de gris de la banda 4 del TM sustituida en las áreas con vegetación, nubes, sombras, agua y nieve. La máscara se aplica a la imagen en escala de gris de la banda 4 (el MCRC) y puede interpretarse según la presencia de grupos minerales que incluyen muchos minerales formados durante procesos hidrotermales o la oxidación de rocas hidrotermalmente alteradas. La escala aproximada 1:250,000; imagen localizada en Path 001/Row 073/Quad 4; norte hacia arriba.

IMAGE D. Imagen color-relación compuesta enmascarada (MCRC) de la región del Salar de Coipasa, altiplano centro-occidental, Bolivia. La máscara consta de la imagen en escala de gris de la banda 4 del TM sustituida en las áreas con vegetación, nubes, sombras, agua y nieve. La máscara se aplica a la imagen en escala de gris de la banda 4 (el MCRC) y esta constituida por rocas y suelos expuestos que pueden ser interpretados por la presencia de grupos minerales de rocas que incluyen muchos minerales formados durante procesos hidrotermales o la oxidación de rocas hidrotermalmente alteradas. La escala aproximada 1:250,000; imagen localizada en Path 001/Row 073/Quad 4; norte hacia arriba.

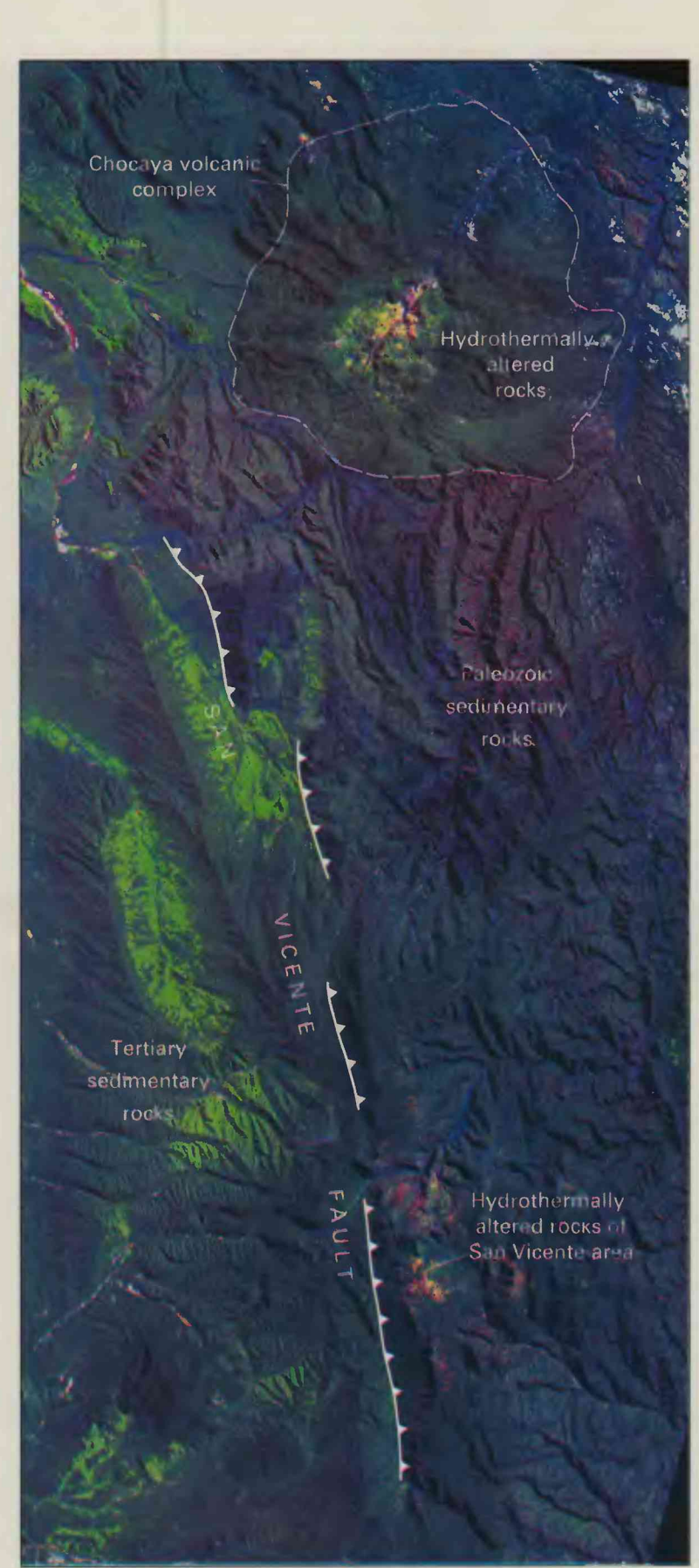


IMAGE E. Imagen color-relación compuesta enmascarada (MCRC) mostrando rocas hidrotermalmente alteradas asociadas con dos depósitos de veínes polimetálicos bolivianos, Chocuya y San Vicente. Las alteraciones hidrotermalicas y supergenéricas aparecen en amarillo claro y blanco. Notese el contraste entre los tonos amarillos y blancos de las alteraciones hidrotermalicas en la parte izquierda de la imagen, y los tonos grises y verdes (óxidos de hierro en capa roja) en las rocas sedimentarias terciarias presentes en el lado izquierdo de la imagen. El límite entre estos dos tipos de alteraciones hidrotermalicas es la falla de Vicente, formada durante el episodio principal de la orogenia Andina. Esta falla forma el límite estructural entre el Altiplano y la Cordillera Oriental. Escala aproximada 1:250,000; imagen localizada en Path 232/Row 75/Quad 1; norte hacia arriba.



IMAGE F. Imagen color-relación compuesta enmascarada (MCRC) mostrando rocas hidrotermalmente alteradas asociadas con depósitos de veínes polimetálicos bolivianos del complejo volcánico de San Cristobal. Las alteraciones hidrotermalicas y supergenéricas aparecen en colores amarillo claro y blanco. El centro igneo de Cerro Lipez es claramente visible en la parte izquierda de la imagen. Las rocas sedimentarias precalizadas que constituyen la estructura en flor de Pablos (Boby y otros, 1990) como una falla en la parte alta angular que sostiene rocas silílicas post-caledónicas sobre rocas terciarias. Escala aproximada 1:250,000; imagen localizada en Path 232/Row 75/Quad 2; norte hacia arriba.

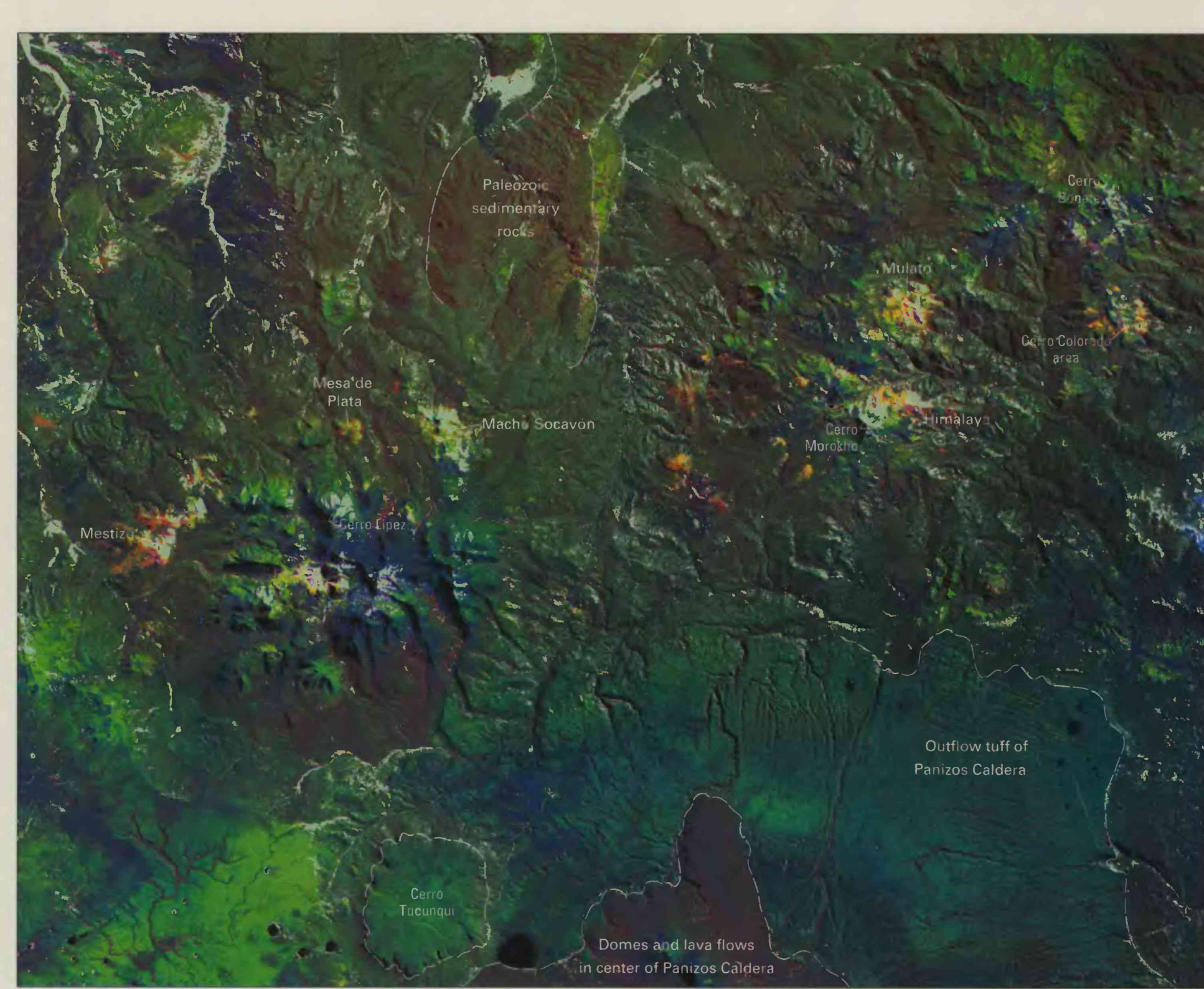


IMAGE G. Imagen color-relación compuesta enmascarada (MCRC) mostrando rocas hidrotermalmente alteradas asociadas con depósitos de veínes polimetálicos bolivianos descritos en el texto. El área Cerro Colorado, Moltat, Huiñay, Machu Socavon, Mesa de Plata, Macha Socavon, Cerro Morococha, Cerro Colonia área, la descarga tufa de la caldera de Panizos, y domos y flujo de lava en el centro de la caldera de Panizos. Los alteraciones hidrotermalicas y supergenéricas aparecen en colores amarillo claro y blanco. El centro igneo de Cerro Lipez es claramente visible en la parte izquierda de la imagen. Las rocas sedimentarias precalizadas que constituyen la estructura en flor de Pablos (Boby y otros, 1990) como una falla en la parte alta angular que sostiene rocas silílicas post-caledónicas sobre rocas terciarias. Escala aproximada 1:250,000; imagen localizada en Path 232/Row 75/Quad 3; norte hacia arriba.